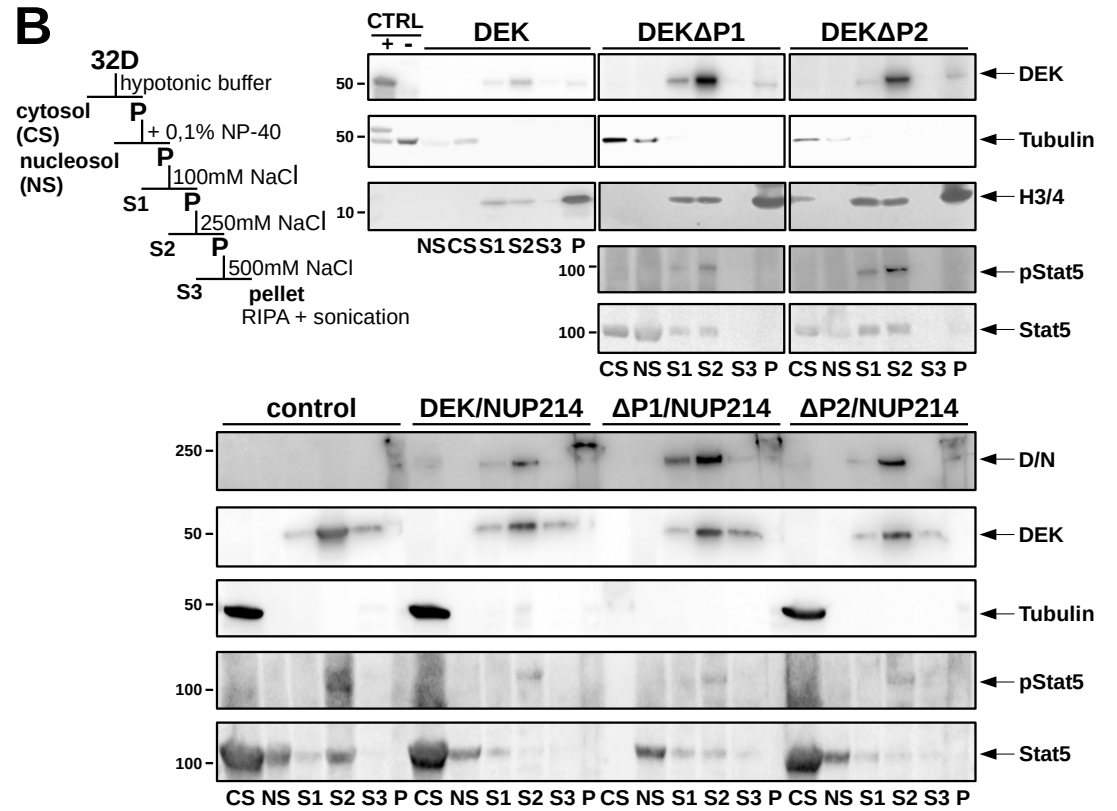


293T



Chiriches et al., S4 Fig